

УДК 551.57 (282.256.341)

Л. Н. СИЗОВА, Л. Н. КУИМОВА, М. Н. ШИМАРАЕВ

Лимнологический институт СО РАН, г. Иркутск

ВЛИЯНИЕ ЦИРКУЛЯЦИИ АТМОСФЕРЫ НА ЛЕДОВО-ТЕРМИЧЕСКИЕ ПРОЦЕССЫ НА БАЙКАЛЕ В 1950–2010 ГОДЫ

Изучено влияние крупномасштабной атмосферной циркуляции, описываемой индексами *Northern Hemisphere Teleconnection Patterns*, на температуру воздуха и ледово-термические характеристики оз. Байкал в 1950–2010 гг. Получены уравнения множественной линейной регрессии, которые объясняют 46–67 % изменений температуры воздуха в сезоны зимы, весны и осени и 18 % летом. Основной вклад в изменение температуры воздуха в отдельные сезоны (кроме лета) и ледово-термических характеристик вносят колебания индексов AO и NAO, характеризующих западно-восточный перенос воздушных масс, и индексов блокирующих этот перенос механизмов SCAND и Sh. Менее значителен вклад остальных циркуляционных механизмов.

Ключевые слова: температура воздуха, ледовые явления, температура воды, атмосферная циркуляция.

A study is made of the influence of the large-scale atmospheric circulation, described by the indices of Northern Hemisphere Teleconnection Patterns, on air temperature and ice-thermal characteristics of Lake Baikal for the time interval 1950–2010. Multiple linear regression equations have been obtained to account for 46–67 % of the air temperature changes during the winter, spring and autumn seasons, and for 18 % during the summer season. The main contribution to air temperature change for separate seasons (except in the summertime) and ice-thermal characteristics is made by the fluctuations of the AO and NAO indices characterizing the west-east transport of air masses, and of the SCAND and Sh indices, blocking the mechanism of this transport. The contribution of the remaining circulation mechanisms is less significant.

Keywords: air temperature, ice phenomena, water temperature, atmospheric circulation.

ПОСТАНОВКА ПРОБЛЕМЫ

Озеро Байкал, расположенное в центре Азиатского континента, как открытая природная система испытывает влияние внешних воздействий, которые отражаются в первую очередь на состоянии абиотических условий водной среды. Основным фактором, вызывающим масштабные изменения ледово-термических процессов, являются колебания климатических условий.

Существует множество доказательств изменения климата в районе Байкала. За период наблюдений (1896–2000 гг.) годовая температура воздуха на Байкале увеличивалась со средней скоростью 1,2 °C/100 лет, а температура зимы, весны, лета и осени — на 2, 1,4, 0,8 и 0,5 °C/100 лет соответственно [1]. Во все сезоны происходят внутривековые колебания температуры со скоростью ее роста/понижения, намного превышающей величину многолетнего тренда. За последние 10–15 лет на фоне глобального потепления наблюдается тенденция к снижению зимних и весенних температур воздуха. По наблюдениям, в последние 60 лет постепенно возрастала температура поверхности и верхних слоев воды в теплую часть года [2–5].

Значительные изменения произошли в ледовом режиме Байкала. В XX в. продолжительность ледостава в Южном Байкале сократилась на 18 суток в результате запаздывания сроков замерзания (на 11 суток) и более раннего вскрытия ледяного покрова (на 7 суток). В период 1949–2000 гг. толщина льда уменьшалась в среднем на 2,4 см за 10 лет [1].

Ледяной покров и снег на льду играют важную роль в формировании гидрофизических полей и влияют на первичную продуктивность и весеннее цветение эндемичных диатомовых водорослей [6] — основного корма для мелких ракообразных Байкала и байкальской рыбы. По мнению некоторых исследователей [7], дальнейшее сокращение продолжительности ледостава может ограничить рост диатомовых водорослей.

Учитывая важную роль ледяного покрова в протекании физических, химических и биологических процессов в Байкале, исследование влияния атмосферной циркуляции на ледово-термические характеристики представляет значительный интерес, особенно для периода активного потепления 1970–1995 гг. и последних 10–15 лет.

Совершенно очевидно, что происходящие на фоне тренда медленного потепления колебания климата в районе Байкала являются результатом воздействия крупных изменений атмосферной циркуляции. Как показано в [8–11], крупномасштабные аномалии температуры воздуха и осадков зимой на территории Евразии вызываются изменением активности зонального переноса, характеризуемого индексами североатлантического (NAO) и арктического (AO) колебаний. Несмотря на важную роль зонального переноса, индексы AO и NAO могут не в полной мере учитывать воздействие циркуляции на климат и гидрологические процессы. Так, изменение индексов AO и NAO объясняет лишь 23–34 % изменчивости температуры воздуха на Байкале зимой, весной и осенью [12].

Ранее влияние атмосферной циркуляции на ледовые характеристики Байкала исследовалось только у пос. Листвянка [11, 13]. В [13] показано, что 14 % изменчивости дат вскрытия льда в период 1869–1996 гг. объясняются вариацией активности NAO с января по март. Автор отмечает также, что существенное влияние NAO на температуру воздуха и даты вскрытия проявляется только во второй половине XX в., а в начале века было, вероятно, незначительным. В [11] обнаружено, что наиболее сильные связи наблюдаются между ледовыми характеристиками и индексами скандинавского (SCAND), сибирского максимума высокого давления (Sh) и AO. В [2] рассмотрено влияние NAO и Sh на вскрытие льда и температуру воды летом в разных частях Байкала. Наибольшее влияние NAO отмечалось в 1970–1995 гг., и это связано с одновременным возрастанием его активности и падением активности Sh. В последующий после 1995 г. период при снижении активности NAO наметилась тенденция к понижению температуры воды, а также к более раннему замерзанию и более позднему вскрытию ледяного покрова.

Для получения максимально полного представления о наблюдаемых изменениях климата в районе Байкала в данной работе использован комплекс циркуляционных индексов Северного полушария, известных как Northern Hemisphere Teleconnection Patterns [14]. В отличие от [2, 3, 11, 13], при анализе данных мы не ограничивались определением парных корреляций, а оценивали вклад отдельных циркуляционных индексов методом пошаговой множественной регрессии с учетом более полной информации (1950–2010 гг.) о ледово-термических характеристиках в Южном, Среднем и Северном Байкале, а также на отдельных станциях.

МАТЕРИАЛЫ И МЕТОДЫ ИССЛЕДОВАНИЯ

При описании изменений крупномасштабной циркуляции атмосферы использовались циркуляционные индексы, рассчитанные для периода 1950–2010 гг. в Центре прогнозов климата США (NOAA) [15]. Индексы получены путем разложения по естественным ортогональным функциям (EOF) колебаний поля геопотенциала изобарической поверхности 700 гПа для внутропической зоны Северного полушария. Индексы характеризуют ряд циркуляционных мод (механизмов циркуляции) атмосферы [14], широко используемых для изучения крупномасштабной циркуляции и долгосрочного прогноза погоды. Для анализа принятые индексы следующих циркуляционных механизмов: NAO, полярно-евразийский (POL), восточноатлантический (EA) и восточноатлантический-западнороссийский (EAWR) — показатели активности зональной циркуляции; блокирующий зональный перенос SCAND; тихоокеанско-североамериканский (PNA), западнотихоокеанский (WP). За показатель зонального переноса принимался также AO, полученный при разложении на EOF колебаний поля геопотенциала изобарической поверхности 1000 гПа [10], изменения которого более строго, чем NAO, соответствуют колебаниям приземной температуры на евразийском континенте [10, 16]. Дополнительно использован Sh, полученный нами путем осреднения и стандартизации доступных данных по приземному давлению в период с декабря по февраль в 1950–2010 гг. для территории 40–65° с. ш., 80–120° в. д. (станции Туруханск, Ергонгачён, Енисейск, Минусинск, Киренск, Иркутск, Чита) [17].

Для выявления связи ледово-термических характеристик с индексами циркуляции атмосферы использовались методы статистического анализа. Определялись коэффициенты парной корреляции (r), детерминации (R^2) и множественной корреляции (R). С применением метода пошаговой линейной регрессии оценен сравнительный вклад индексов циркуляции в изменчивость ледово-термических характеристик. Найдена стандартная ошибка (S) — среднеквадратическое отклонение от модели.

При анализе влияния циркуляции на температуру воздуха в 1950–2008 гг. использовались ее сезонные и годовые значения для всего озера, осредненные по наблюдениям девяти байкальских метеостанций. Такие параметры, как сроки замерзания, вскрытия и толщина льда, использованы для трех участков озера, выделенных с учетом различий в их широтном положении. Первый включал

шесть метеостанций в Южном Байкале, второй — три станции в центральной части озера на границе Среднего и Северного Байкала и третий — три станции на севере озера. Для каждого участка по наблюдениям в период с 1950 по 2010 г. рассчитаны средние сроки замерзания и разрушения льда, его максимальная толщина. Для характеристики температуры поверхности воды определены ее средние с мая по сентябрь (на севере озера с июня по октябрь) значения для этих же участков Байкала по наблюдениям девяти станций в период с 1950 по 2006 г.

РЕЗУЛЬТАТЫ И ОБСУЖДЕНИЕ

Температура воздуха (T_a). Зимой (декабрь–февраль) температура воздуха находится в прямой зависимости от NAO ($r = 0,39$), AO ($r = 0,51$) и EAWR ($r = 0,40$) и в обратной — от SCAND ($r = -0,61$) и Sh ($r = -0,61$). Уравнение множественной регрессии учитывает 65 % изменчивости T_a с основным вкладом Sh, SCAND и NAO (табл. 1). Составленное с учетом всех этих индексов уравнение воспроизводит разные по продолжительности колебания T_a , включая большинство лет с ее аномальными значениями (рис. 1, *a*) при величине $S = \pm 1,4$ °C.

В период возрастания активности зонального переноса (1970–1995 гг.) теснота связи T_a с NAO ($r = 0,68$) и AO ($r = 0,65$) усилилась, вклад NAO в изменение T_a возрос до 60 %. Теснота связи T_a с SCAND и Sh практически не изменилась ($r = -0,58$), но вклад SCAND понизился до 6 %, а Sh — до 28 %. Влияние других механизмов циркуляции оказалось статистически незначимым. Уравнение множественной регрессии для этого периода учитывает изменения T_a полнее и точнее ($R^2 = 0,78$, $S = \pm 1$ °C), чем уравнение для периода 1950–2008 гг.

Весной основное влияние на изменение T_a оказывает AO ($r = 0,49$), доля которого в учитываемой уравнением изменчивости T_a равна 41 %. Менее весной становится связь со SCAND ($r = -0,38$) и Sh ($r = -0,27$), их вклад 12 и 7 % соответственно. Значимую роль играют EA ($r = 0,34$, вклад 8 %) и WP ($r = -0,35$, вклад 18 %). Уравнение множественной регрессии ($R = 0,77$) объясняет 60 % изменений T_a при величине $S = \pm 0,8$ °C (см. рис. 1, *b*).

Летом связь T_a с индексами циркуляции атмосферы существенно ослаблена. Значительное влияние на изменения T_a оказывают только EA ($r = 0,30$, вклад 47 %) и SCAND ($r = -0,29$, вклад 25 %). Уравнение регрессии объясняет 18 % изменений T_a и позволяет описать лишь их долговременную тенденцию в 1950–2008 гг. при $S = \pm 0,8$ °C (см. рис. 1, *c*).

Осенью влияние атмосферных процессов на T_a усиливается. Уравнение регрессии учитывает 46 % колебаний T_a , которые зависят в основном от активности AO ($r = 0,52$, вклад 61 %) и SCAND ($r = -0,50$, вклад 25 %). Несмотря на значимую корреляцию T_a с индексом POL ($r = 0,35$), его вклад в изменчивость T_a практически отсутствует. Также при слабой тесноте связи T_a с индексами NAO и PNA их общий вклад составляет 13 %. Межгодовые колебания рассчитанных по уравнению значений T_a довольно близки к колебаниям ее фактических значений при $S = \pm 0,8$ °C (см. рис. 1, *d*).

Таблица 1
Характеристики связи температуры воздуха зимой в котловине Байкала
с индексами атмосферной циркуляции (1951–2008 гг.)

Параметр	r	B	S	t	p-level	Объясненная дисперсия (D)	
<i>a</i>	—	-15,5	0,2	-81,7	0,000	—	—
Sh	-0,610	-0,9	0,2	-4,6	0,000	0,37	57 %
SCAND	-0,607	-1,4	0,3	-4,2	0,000	0,20	30 %
NAO	0,386	0,7	0,3	2,6	0,013	0,04	6 %
PNA	0,210	0,5	0,3	2,0	0,055	0,02	4 %
POL	0,171	0,5	0,3	2,0	0,111	0,02	3 %
Сумма						$R^2 = 0,65$	100 %

При мечание. Здесь и в табл. 2, 3: *a* — свободный член в уравнении; r — коэффициент парной корреляции; B — коэффициент в уравнении множественной линейной регрессии; S — стандартная ошибка для коэффициентов B ; t — коэффициент Стьюдента; p-level — уровень значимости; D — сравнительный вклад индексов в изменчивость характеристики; R^2 — коэффициент детерминации. Жирным шрифтом выделены статистически значимые коэффициенты.

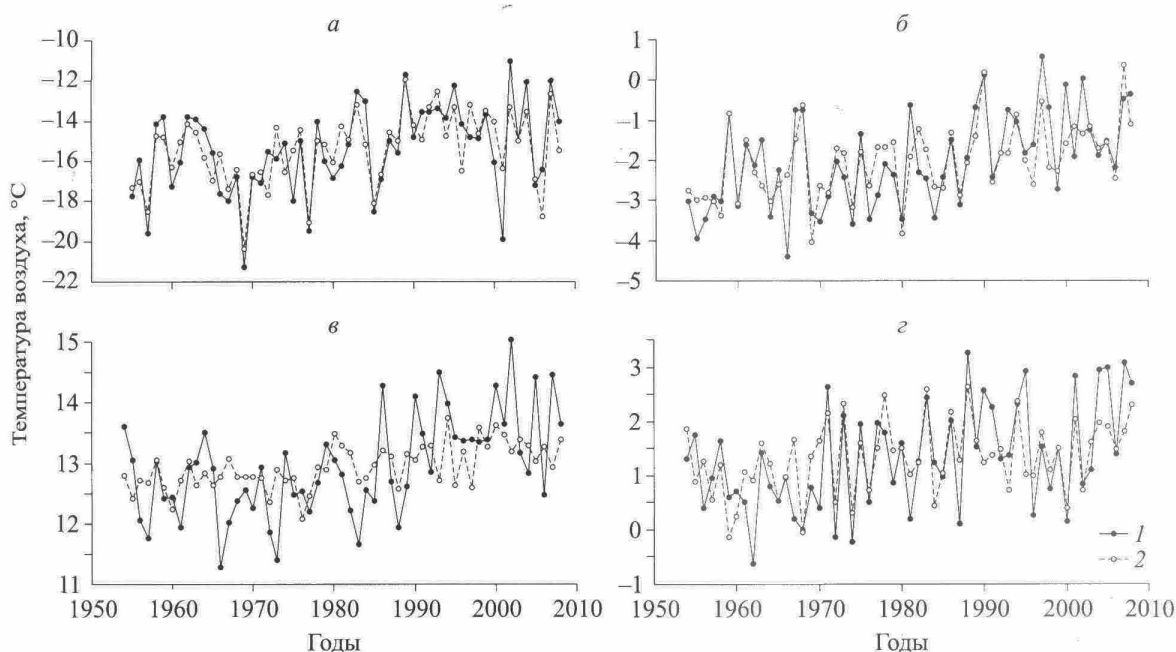


Рис. 1. Средняя в декабре–феврале (а), марте–мае (б), июне–августе (в) и сентябре–ноябре (д) температура воздуха на Байкале.

1 – по наблюдениям, 2 – по расчетам по регрессионным зависимостям.

Основную роль в изменчивости годовой температуры играют механизмы циркуляции, характеризующие глобальный западно–восточный перенос или его региональные проявления AO, NAO, EA ($r = 0,33\text{--}0,54$) и блокирующий этот перенос SCAND ($r = -0,51$), а также Sh ($r = -0,51$). Уравнение регрессии ($R = 0,82$, $S = \pm 0,6^{\circ}\text{C}$) учитывает 67 % изменчивости T_a (вклад AO, SCAND, PNA, Sh – 44; 8; 29 и 10 % соответственно).

Таким образом, учитываемые Teleconnection Patterns циркуляционные механизмы описывают 46–67 % изменений годовой температуры и температуры зимой, весной и осенью. Летом вклад циркуляции в изменение температуры снижается до 18 %. Более значительную роль играет, по–видимому, радиационный прогрев, эффект которого ослабевает при усиливении зональной циркуляции [3]. К основным циркуляционным механизмам, влияющим на повышение годовой и сезонной (кроме летней) температуры на Байкале, относятся AO и NAO, а на понижение – SCAND и Sh. Наряду с этим заметна роль EAWR зимой, EA и WP – весной, EA – летом. Влияние и вклад других механизмов циркуляции статистически не значимы.

Ледовые явления. Вызываемые циркуляционными процессами изменения температуры воздуха в зимние месяцы оказывают заметное воздействие на ледовый режим Байкала. Так, в Южном Байкале (пос. Листвянка) сроки замерзания связаны с T_a в ноябре–декабре ($r = 0,75$), определяющей скорость выхолаживания верхнего слоя воды перед замерзанием озера [11, 18], а максимальная толщина льда – с T_a в январе–феврале ($r = 0,89$). В свою очередь, толщина льда, наряду с тепловыми и динамическими факторами весеннего периода [6, 13], может оказывать влияние на сроки вскрытия ледяного покрова. Поэтому динамика ледовых процессов рассматривалась в сопоставлении с индексами циркуляции в зимние месяцы.

При анализе сроков замерзания использовались средние индексы циркуляции за ноябрь и декабрь предыдущего года.

Для Южного Байкала (станции Маритуй, порт Байкал, Листвянка, Бол. Голоустное, Танхой, Бабушкин) и центральной части озера (станции Узур, Солнечная, о. Бол. Ушканый) обнаруживается значимая положительная связь сроков замерзания с индексами AO ($r = 0,35$), EAWR ($r = 0,28 \div 0,35$) и отрицательная с SCAND ($r = -0,55 \div -0,69$), Sh ($r = -0,27 \div -0,47$) и POL ($r = -0,31$). Годы позднего замерзания соответствуют возрастанию активности зонального переноса воздушных масс из

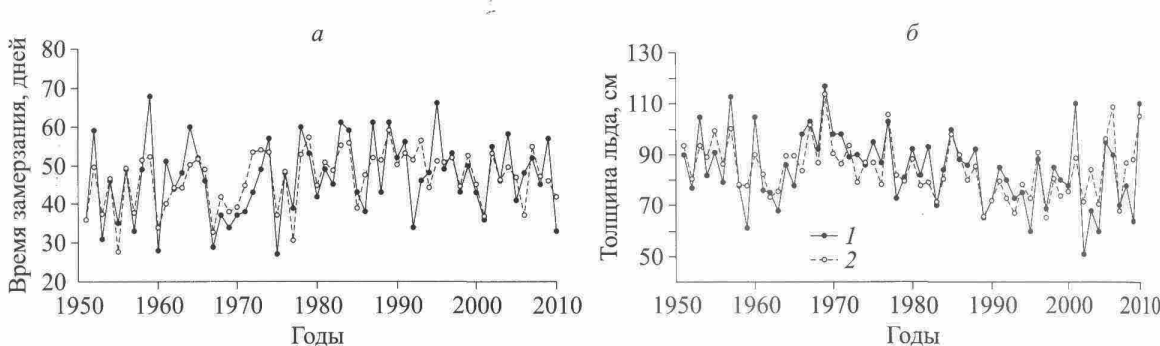


Рис. 2. Время замерзания (в отклонениях от 1 декабря) (а) и толщина льда (б) в Южном Байкале (пос. Листвянка).

1 — по наблюдениям, 2 — по расчетам по регрессионным зависимостям.

Таблица 2

Характеристики связи сроков замерзания в Южном Байкале (пос. Листвянка) с индексами атмосферной циркуляции в ноябре и декабре (1950–2010 гг.)

Параметр	<i>r</i>	<i>B</i>	<i>S</i>	<i>t</i>	p-level	Объясненная дисперсия (<i>D</i>)
<i>a</i>	—	46,3	0,9	49,8	0,000	—
SCAND	-0,601	-5,2	1,3	-3,9	0,000	0,36
Sh	-0,473	-3,0	1,0	-3,0	0,004	0,11
EAWR	0,382	2,5	1,3	1,9	0,068	0,03
POL	-0,297	-1,6	1,4	-1,2	0,247	0,01
Сумма					<i>R</i> ² = 0,51	100 %

Атлантики (индексы АО, EAWR), а годы раннего замерзания — усилинию блокирующего этот перенос индекса SCAND, а также Sh. Уравнения множественной регрессии объясняют 39–58 % изменчивости сроков замерзания с величиной стандартного отклонения $S = \pm 6\text{--}7$ дней (рис. 2, а, табл. 2). Основной вклад (78–83 %) в учитываемую уравнениями изменчивость сроков замерзания вносит SCAND.

В северной части Байкала (станции Байкальское, Нижнеангарск, Томпа) процессы циркуляции объясняют 34 % изменения сроков замерзания ($S = \pm 7$ дней). Связь с отдельными индексами циркуляции значима только для SCAND ($r = -0,51$), вклад которого в учитываемую изменчивость сроков замерзания составляет 77 %.

Как и для зимней температуры воздуха, в 1970–1995 гг. вклад АО и NAO в изменение времени замерзания во всех частях озера повысился до 18–50 %, а вклад SCAND понизился до 32–68 %. Доля учитываемой уравнениями регрессии изменчивости времени замерзания увеличилась с 34–58 до 52–68 % при $S = \pm 5,6\text{--}6,4$ дня.

Межгодовая и внутривековая изменчивость толщины ледяного покрова (H_l) сопоставлена с процессами циркуляции в декабре–феврале. В Южном и Среднем Байкале отмечается значимая обратная связь толщины льда с индексами АО ($r = -0,48 \div -0,55$), NAO ($r = -0,36 \div -0,39$), EAWR ($r = -0,32 \div -0,35$) и прямая связь с индексами SCAND и Sh ($r = 0,38 \div 0,58$). Вклад основных циркуляционных механизмов в учитываемую уравнением множественной регрессии изменчивость H_l для этих частей озера неодинаков. Если в Южном Байкале для SCAND, AO, Sh он составляет 67, 10 и 20 %, то в Среднем Байкале — 8, 60 и 14 % соответственно. Уравнение регрессии для Южного Байкала ($R^2 = 0,50$, $S = \pm 8,9$ см) учитывает влияние циркуляции на изменения толщины льда точнее, чем для Среднего Байкала ($R^2 = 0,38$, $S = \pm 10,8$ см). В Северном Байкале уравнение регрессии объясняет 23 % изменений толщины льда при $S = \pm 14,3$ см. Существенной оказывается связь H_l только с индексами АО ($r = -0,46$) и NAO ($r = -0,34$), основной вклад в изменение толщины льда вносит АО (89 %).

Подобный анализ для отдельных станций показал, что связь толщины льда с индексами циркуляции ослаблена для участков с преобладанием постоянно заснеженного льда. Причина этого заклю-

чается в снижении теплопроводности ледово-снежного покрова и, как следствие, в замедленной реакции толщины льда на вызываемые процессами циркуляции изменения температуры воздуха. Для менее заснеженных участков у западного побережья Южного Байкала на станциях Листвянка (см. рис. 2, б) и Бол. Голоустное уравнения регрессии учитывают 49–59 % изменчивости $H_{\text{л}}$ с погрешностью $\pm 10,7$ см и хорошо описывают тренд, межгодовые колебания, отдельные годы с аномально большой толщиной льда (1969, 1977, 1985, 2001 и 2010 гг.).

Для станций восточного побережья Южного Байкала, а также центральной и особенно северной части озера, где толстый снег обычно полностью покрывает лед, вклад процессов циркуляции в изменение толщины льда снижается до 23–33 %.

Для периода 1970–1995 гг. отмечается усиление связи толщины льда с индексами зональной циркуляции АО и НАО. Их вклад в учитываемую уравнениями изменчивость составил в отдельных частях озера 73–87 %, тогда как для SCAND он уменьшился до 4 % в южной части, а для других частей озера отсутствовал. Величина коэффициентов детерминации для этого периода возросла по сравнению с 1950–2010 гг. до 65 % в южной, 69 % в средней и 47 % в северной частях озера, величина S снизилась с 8,9–14,3 до 7,1–10,6 см.

Изменение сроков вскрытия ледяного покрова $D_{\text{вскр}}$ (в отклонениях от 1 мая) определяется на 50–56 % процессами циркуляции атмосферы в декабре–марте (табл. 3). Для выделенных участков озера и отдельных станций на $D_{\text{вскр}}$ заметно воздействуют НАО и АО ($r = -0,48 \div -0,60$), EA ($r = -0,29 \div -0,36$), SCAND ($r = 0,30 \div 0,41$) и Sh ($r = 0,28 \div 0,54$), в Северном Байкале значимое влияние оказывает PNA ($r = -0,27$). Вклад НАО в учитываемую уравнениями изменчивость $D_{\text{вскр}}$ (53–64 %) является основным и намного превышает вклад EA (3–17 %), SCAND (5–11 %), Sh (17–28 %) и в Северном Байкале PNA (7 %). Учет индексов этих циркуляционных механизмов в уравнениях множественной регрессии позволяет описать тренд и межгодовые колебания, а также большинство лет с аномальными сроками вскрытия при $S = \pm 5,3 \div 6,1$ дня (рис. 3, а).

Таблица 3

Характеристики связи сроков вскрытия в Среднем Байкале (о. Бол. Ушканьи) с индексами атмосферной циркуляции в декабре–феврале (1950–2010 гг.)

Параметр	r	B	S	t	p-level	Объясненная дисперсия (D)
a	—	13,1	0,8	15,7	0,000	—
NAO	-0,486	-4,2	1,2	-3,6	0,001	0,24
Sh	0,473	2,0	1,0	2,0	0,049	0,16
PNA	-0,243	-1,9	1,1	-1,7	0,100	0,05
EA	-0,362	-2,4	1,3	-1,8	0,075	0,02
SCAND	0,355	1,8	1,3	1,4	0,176	0,02
POL	-0,053	-1,6	1,4	-1,2	0,251	0,02
Сумма					$R^2 = 0,50$	100 %

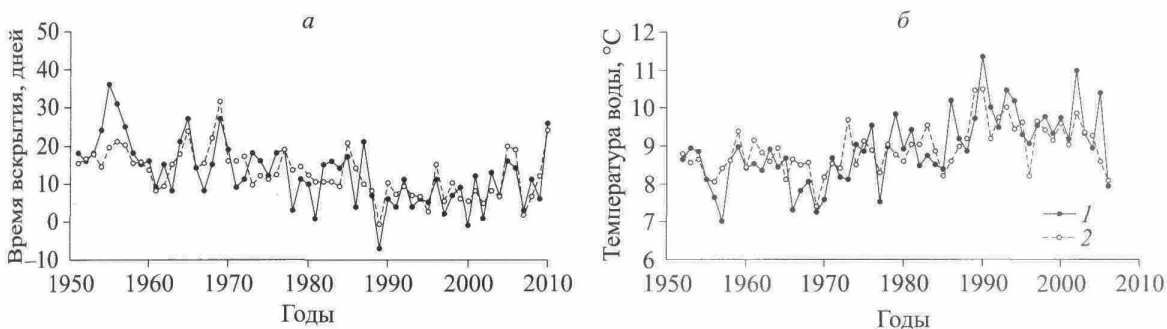


Рис. 3. Время вскрытия (в отклонениях от 1 мая) (а) и средняя в июне–октябре температура поверхности воды (б) в Среднем Байкале (ст. о. Бол. Ушканьи).

1 – по наблюдениям, 2 – по расчетам по регрессионным зависимостям.

Таким образом, ледовый режим Байкала в современный период отражает общий характер изменений климата в регионе озера, характеризуемых температурой воздуха. Сохраняется связанный с потеплением устойчивый и умеренный по величине многолетний тренд запаздывания времени замерзания и более раннего наступления вскрытия. Одновременно происходят существенные изменения скорости этих показателей ледового режима и даже меняется знак приращения на ветвях роста и спада внутривековых и особенно малых (4–7 лет) циклов климата, вызываемых колебаниями процессов циркуляции атмосферы.

Рассматривая общие особенности изменения температуры воздуха и ледовых явлений в зависимости от циркуляции атмосферы зимой, отметим основную роль активности зонального переноса, определяемого индексами AO и NAO, и блокирующих этот перенос механизмов, характеризуемых индексами SCAND и Sh. Изменение соотношения между циркуляционными индексами обусловило основные тенденции температуры воздуха и характеристик ледового режима Байкала. Так, уменьшению индексов AO и NAO и усилинию SCAND и Sh с начала 1950-х до начала 1970-х гг. соответствовали холодные зимы и суровость ледовых условий этого периода. В 1970–1995 гг. постоянное увеличение индексов AO и NAO при одновременном снижении SCAND и Sh сопровождалось исключительно сильным потеплением зимой и значительным смягчением ледовых условий. После 1995 г. на фоне глобального потепления постепенное усиление суровости зим соответствует ослаблению индексов зонального переноса при росте SCAND и Sh.

Температура поверхности воды. Активное прогревание Байкала начинается в мае сразу после вскрытия ледяного покрова, когда резко возрастают радиационный прогрев водной толщи. В это время поток солнечной радиации к поверхности озера близок к максимальному за год, альбено водной поверхности мало (6 %). Поэтому время вскрытия, зависящее от зимних процессов циркуляции атмосферы, является фактором, влияющим на температуру верхнего слоя воды T_b весной и в последующие летние месяцы [2]. Данная связь объясняет влияние зимних процессов циркуляции атмосферы на температуру воды в период нагревания Байкала (май–сентябрь).

Расчеты парной корреляции T_b для отдельных станций и выделенных частей озера со средними в декабре–марте индексами циркуляции свидетельствуют о значимой положительной связи T_b с NAO ($r = 0,30–0,50$), AO ($r = 0,32–0,53$) во всех частях озера, в Северном Байкале также с EAWR ($r = 0,31$), об отрицательной связи с SCAND ($r = -0,25 \div -0,42$) и Sh ($r = -0,34$) в центральной части озера. Уравнения множественной регрессии описывают 12 % изменчивости T_b в Южном, 43 % в Среднем и 39 % в Северном Байкале с величиной $S = \pm 0,8–0,9$ °C. Как и для сроков вскрытия, преобладающий вклад в изменение T_b во всех частях озера вносит AO (45–82 %). Вторым по значимости в Южном Байкале является WP (18 %), в Среднем и Северном — PNA (15–18 %).

Из отдельных станций можно выделить о. Бол. Ушканый (см. рис. 3, б) и исток Ангары. Для островной станции в открытой части Байкала характерно ослабленное по сравнению с прибрежными участками влияние локальных ветров и прибрежной динамики вод на изменчивость температуры воды. Процессы циркуляции объясняют 46 % колебаний температуры с $S = \pm 0,7$ °C. Значимое воздействие оказывают AO ($r = 0,54$, вклад 63 %) и NAO ($r = -0,43$, вклад 4 %), а также EA ($r = 0,33$, вклад 21 %), SCAND ($r = -0,42$, вклад 8 %) и Sh ($r = -0,43$, вклад 4 %). Учет индексов циркуляции позволяет детально отразить наблюдавшиеся в 1950–2006 гг. коротко- и долгопериодные колебания T_b .

Для станции в истоке Ангары, сток которой формируется поступлением вод из озера с глубины не менее 50 м, основное влияние на изменение температуры оказывает NAO ($r = 0,35$) и в меньшей степени EA ($r = 0,19$). Из-за сложной динамики вод этого района, воздействия на температуру частых сгонно-нагонных явлений при ветрах из долины р. Ангары влияние процессов циркуляции, хотя статистически значимо, но объясняет только 15 % изменений T_b ($S = \pm 0,9$ °C). Как и для ст. о. Бол. Ушканый, на эти изменения (84 %) в основном влияет индекс зональной циркуляции NAO, который намного превышает вклад EA (16 %).

Исследование ледово-термических процессов на Байкале представляет большой лимнологический и экологический интерес. Температура воздуха, сроки замерзания, вскрытия, максимальная толщина льда и температура поверхности воды существенно влияют на экосистемные процессы оз. Байкал. Результаты показывают, что изменение характеристик ледово-термического режима тесно связано с колебанием AO, NAO, Sh и SCAND. Изменение соотношения между этими циркуляционными индексами определило основные тенденции температуры воздуха и характеристики ледового режима Байкала.

ВЫВОДЫ

Крупномасштабные изменения атмосферной циркуляции в Северном полушарии в последние 60 лет стали основной причиной коротко- и долгопериодных (внутривековых) колебаний климата и характеристик ледово-термического режима Байкала. Результаты анализа свидетельствуют о влиянии механизмов циркуляции атмосферы, учитываемых индексами Northern Hemisphere Teleconnection Patterns, на температуру воздуха. Зимой, весной и осенью с ними связано 46–67 % изменений температуры. В эти сезоны основную роль играет усиление/ослабление индексов, характеризующих активность зонального (западно-восточного) переноса воздушных масс (AO и NAO) или их блокировки (SCAND и Sh), которые описывают суммарно от 36 до 92 % изменений температуры, учитываемых уравнениями регрессии. Летом связь температуры воздуха с индексами циркуляции атмосферы существенно ослаблена.

Зимой и весной AO, NAO, SCAND и Sh вносят основной вклад в изменчивость характеристик ледового режима, объясняя не менее 80 % от ее величины, учитываемой уравнением линейной регрессии. Отметим, что на изменение сроков замерзания и толщины льда преобладающее влияние оказывают колебания SCAND и Sh, тогда как их роль в изменении сроков вскрытия озера становится второстепенной, уступая первое место колебаниям индексов зонального переноса. Использование индексов циркуляционных механизмов в уравнениях множественной регрессии позволяет адекватно описывать как крупно-, так и мелкомасштабные колебания зимней температуры воздуха и связанных с ней сроков замерзания и вскрытия, а также максимальной толщины льда.

Процессы циркуляции атмосферы в зимний период, влияющие на толщину льда и сроки разрушения ледяного покрова, оказывают значимое воздействие на температуру верхних слоев воды в теплую часть года. При этом преобладающий вклад в ее изменчивость вносят индексы зональной циркуляции (AO и NAO).

Соотношение между вкладом основных циркуляционных механизмов в колебания температуры воздуха зимой и отдельных характеристик ледовых явлений менялось во времени. Если в среднем за 1950–2010 гг. вклад SCAND и Sh значительно превосходил вклад AO и NAO, то в период усиления активности зонального переноса (1970–1995 гг.) AO и NAO играли решающую роль в изменении зимней температуры воздуха, сроков замерзания, а также максимальной толщины льда. Уравнения множественной регрессии для данного периода учитывали изменчивость этих характеристик более полно и точно, чем для периода 1950–2010 гг.

Работа выполнена при финансовой поддержке Российского фонда фундаментальных исследований (12-05-31268 мол_а; 13-05-91051-НЦНИ_а) в рамках Программы фундаментальных исследований СО РАН (проект VII.62.1.5).

СПИСОК ЛИТЕРАТУРЫ

1. Шимараев М. Н., Куимова Л. Н., Синюкович В. Н., Цехановский В. В. О проявлении на Байкале глобальных изменений климата в XX столетии // Докл. Академии наук. — 2002. — Т. 383, № 3. — С. 397–400.
2. Шимараев М. Н. Циркуляционные факторы изменения ледово-термического режима Байкала // География и природ. ресурсы. — 2007. — № 4. — С. 54–60.
3. Шимараев М. Н. О влиянии североатлантического колебания (NAO) на ледово-термические процессы на Байкале // Докл. Академии наук. — 2008. — Т. 423, № 3. — С. 397–400.
4. Троицкая Е. С., Шимараев М. Н., Цехановский В. В. Многолетние изменения температуры поверхности воды в Байкале // География и природ. ресурсы. — 2003. — № 2. — С. 47–50.
5. Hampton S. E., Izmest'eva L. R., Moore M. V. et al. Sixty years of environmental change in the world's largest freshwater lake — Lake Baikal, Siberia // Global Change Biology. — 2008. — Vol. 14. — P. 1–12.
6. Kouraev A. V., Semovski S. V., Shimaraev M. N. et al. The ice regime of Lake Baikal from historical and satellite data: Relation to air temperature, dynamical, and other factors // Limnol. Oceanogr. — 2007. — Vol. 52, N 3. — P. 1268–1286.
7. Moore M. V., Hampton S. E., Izmest'eva L. R. et al. Climate change and the World's «Sacred Sea» — Lake Baikal, Siberia // BioScience. — 2009. — Vol. 59, N 5. — P. 405–417.
8. Попова В. В., Шмакин А. Б. Циркуляционные механизмы крупномасштабных аномалий температуры воздуха зимой в Северной Евразии в конце XX столетия // Метеорология и гидрология. — 2006. — № 12. — С. 15–25.

9. Hurrell J. W. Decadal trends in the North Atlantic Oscillation: Regional temperatures and precipitation // Science. — 1995. — Vol. 269. — P. 676–679.
10. Li J., Wang J.X.L. A modified zonal index and its physical sense // Geophys. Res. Lett. — 2003. — Vol. 30, N 12. — P. 1632.
11. Todd M. C., Mackay A. W. Large-scale climate controls on Lake Baikal ice cover // Journ. of Climate. — 2003. — Vol. 16. — P. 3186–3199.
12. Шимараев М. Н., Старыгина Л. Н. Зональная циркуляция атмосферы, климат и гидрологические процессы на Байкале (1968–2007 гг.) // География и природ. ресурсы. — 2010. — № 3. — С. 62–68.
13. Livingstone D. M. Ice break-up on southern Lake Baikal and its relationship to local and regional air temperatures in Siberia and to the North Atlantic Oscillation // Limnol. Oceanogr. — 1999. — Vol. 44, N 6. — P. 1486–1497.
14. Barnston A. G., Livezey R. E. Classification, seasonality and persistence of low-frequency atmospheric circulation patterns // Mon. Weather Rev. — 1987. — Vol. 115. — P. 1083–1126.
15. Standardized Northern Hemisphere Teleconnection Indices. — <http://www.cpc.ncep.noaa.gov>
16. Thompson D. W. J., Wallace J. M. The Arctic Oscillation signature in the wintertime geopotential height and temperature fields // Geophys. Res. Lett. — 1998. — Vol. 25, N 9. — P. 1297–1300.
17. Архив данных ВНИИГМИ-МЦД. — <http://www.meteo.ru>
18. Верболов В. И., Сокольников В. М., Шимараев М. Н. Гидрометеорологический режим и тепловой баланс озера Байкал. — М.: Наука, 1965. — 372 с.

Поступила в редакцию 14 ноября 2012 г.
